

Figura 1.- Imagen de temperatura a partir de ec. (2).

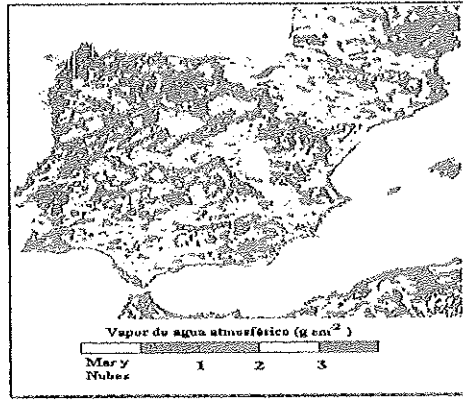


Figura 4.- Imagen de vapor de agua.

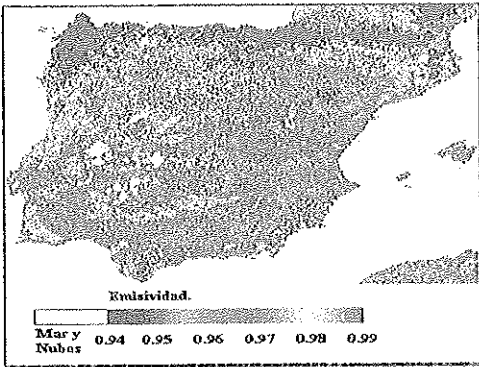


Figura 2.- Imagen de emisividad 30 de mayo de 1996.

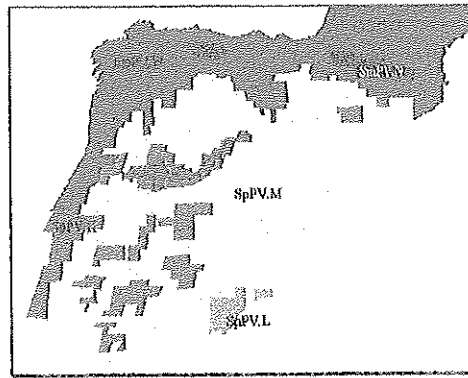


Figura 5.- Clases consideradas. Adaptado de [9].

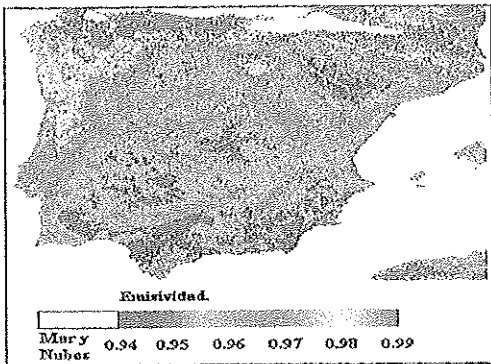


Figura 3.- Imagen de emisividad día 23 de julio de 1995.

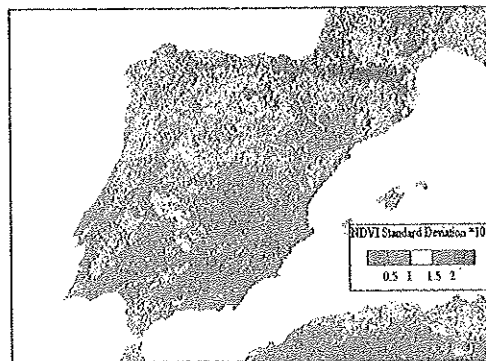
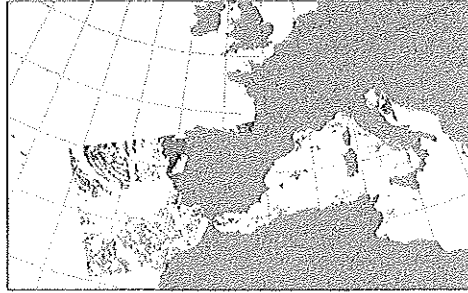


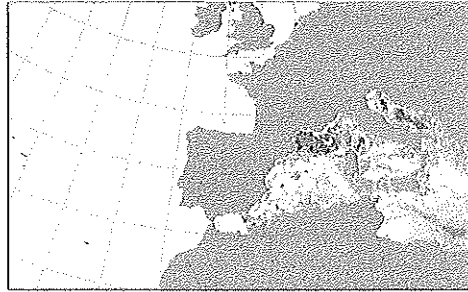
Figura 8.- Desviación estándar del NDVI



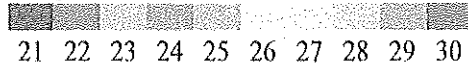
9 de Septiembre de 1996



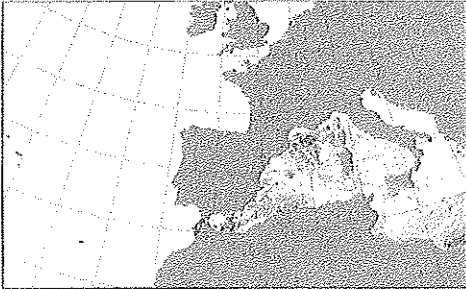
15 de Septiembre de 1996



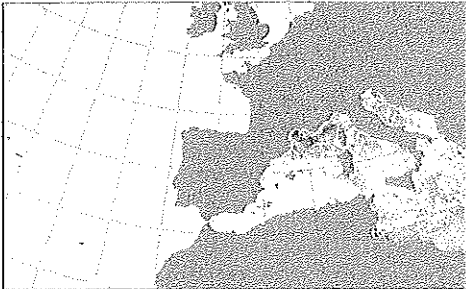
Temperatura superficial del mar (°C)



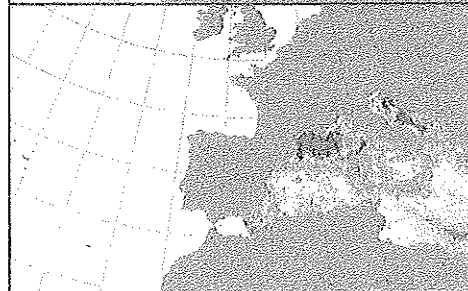
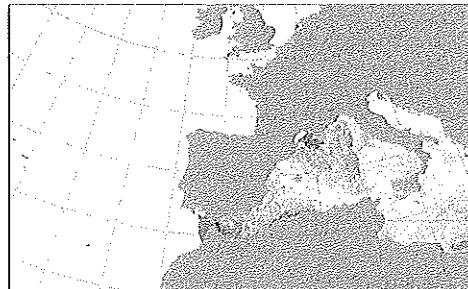
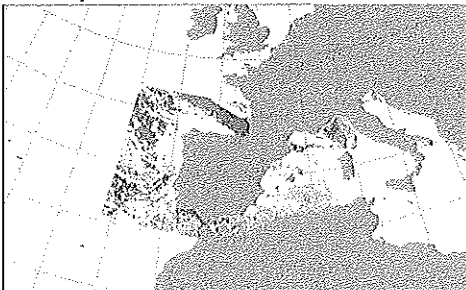
4 de Septiembre de 1996



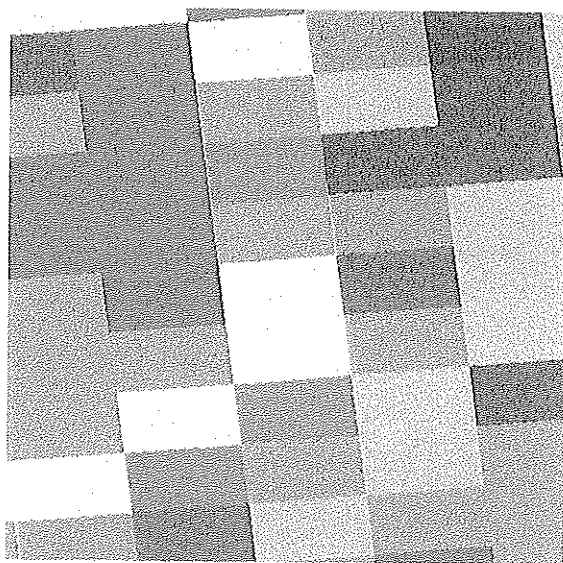
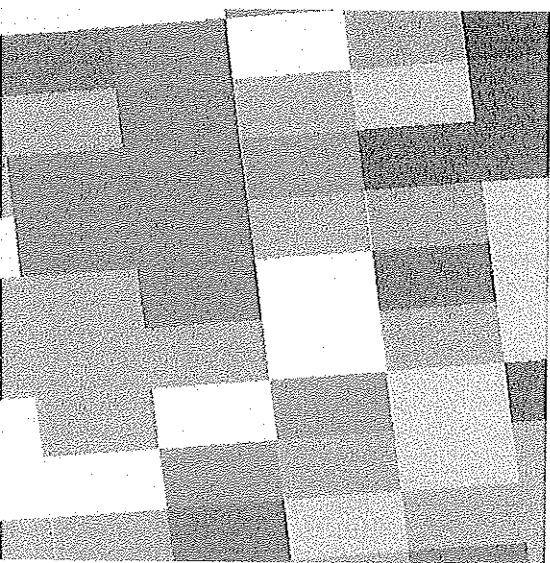
5 de Septiembre de 1996



8 de Septiembre de 1996



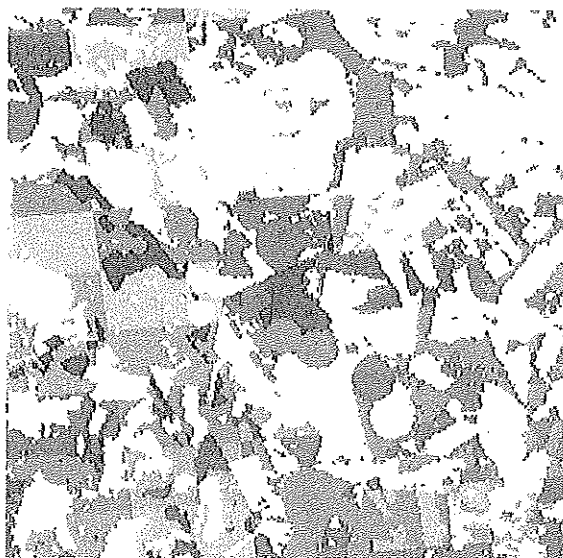
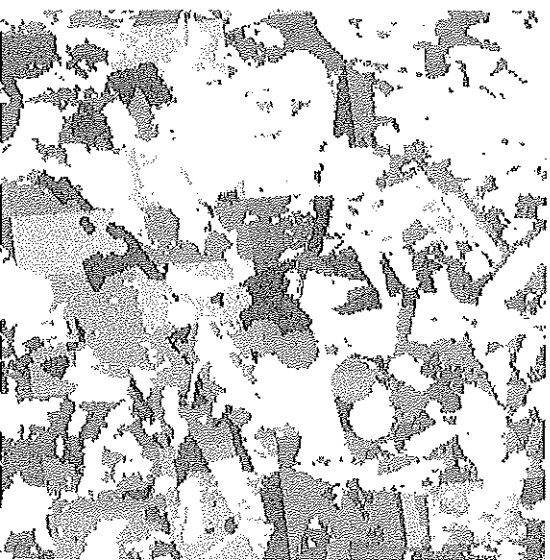




39 40 41 42 43 44



45 46 47 48 49



0 1,5 2 2,5 3 3,5 4 4,5 5



5,5 6 6,5 7 7,5  $\infty$

(c3)





0,5 1 1,5 2 2,5 3 3,5

(c4)

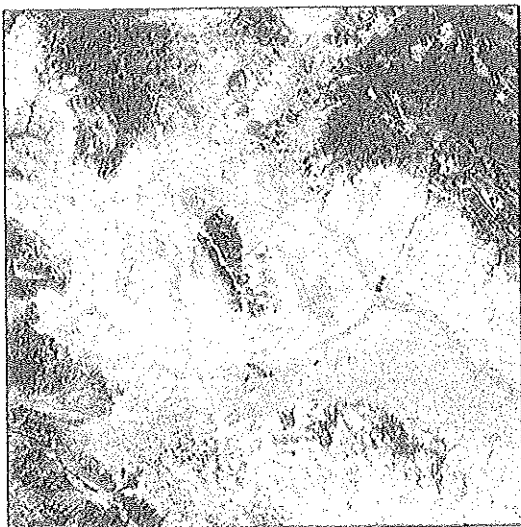


Figura 1.-Imagen en falso color RGB (3,2,1) de La Comarca La Plana de Requena-Utiel que muestra la zona de estudio.

(c5)





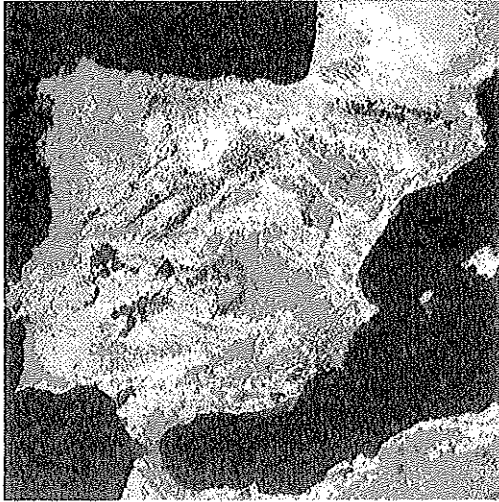


Figura1: Mapa de radiación neta correspondiente al día 30 de mayo de 1996. Los valores están expresados en mm/día. [4.5-5] azul marino, [5-5.5] azul claro, [5.5-6] verde, [6-6.5] amarillo, [6.5-7] coral, [7-7.5] rojo, [7.5-9.0] magenta.  
(c6)

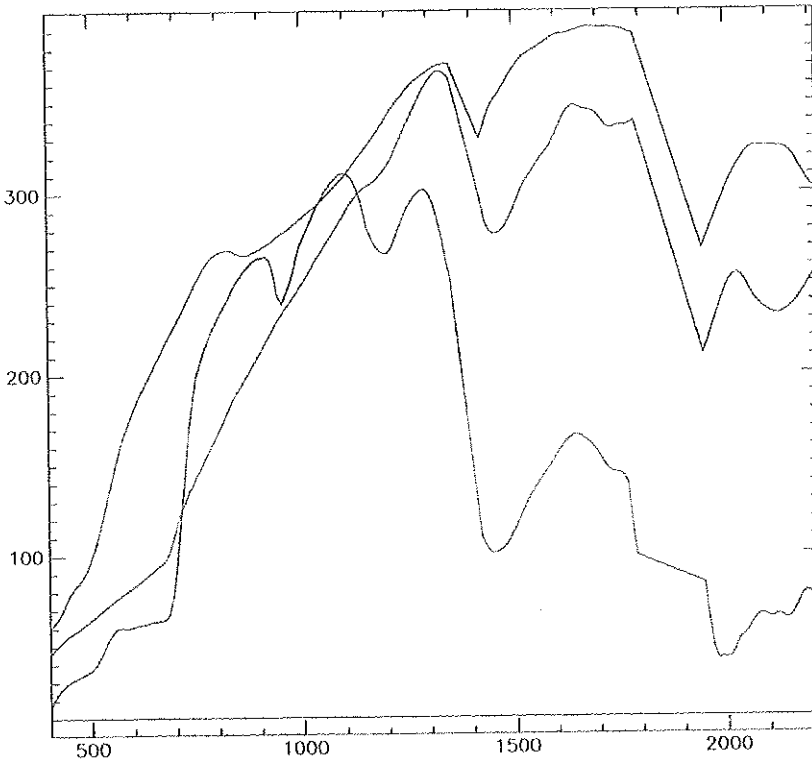


Figura 2. Espectros correspondientes a los cuatro "endmembers" considerados. Rojo: Suelo, Verde: Vegetación muerta, Azul: Vegetación viva, Negro: Sombra.

(c8)



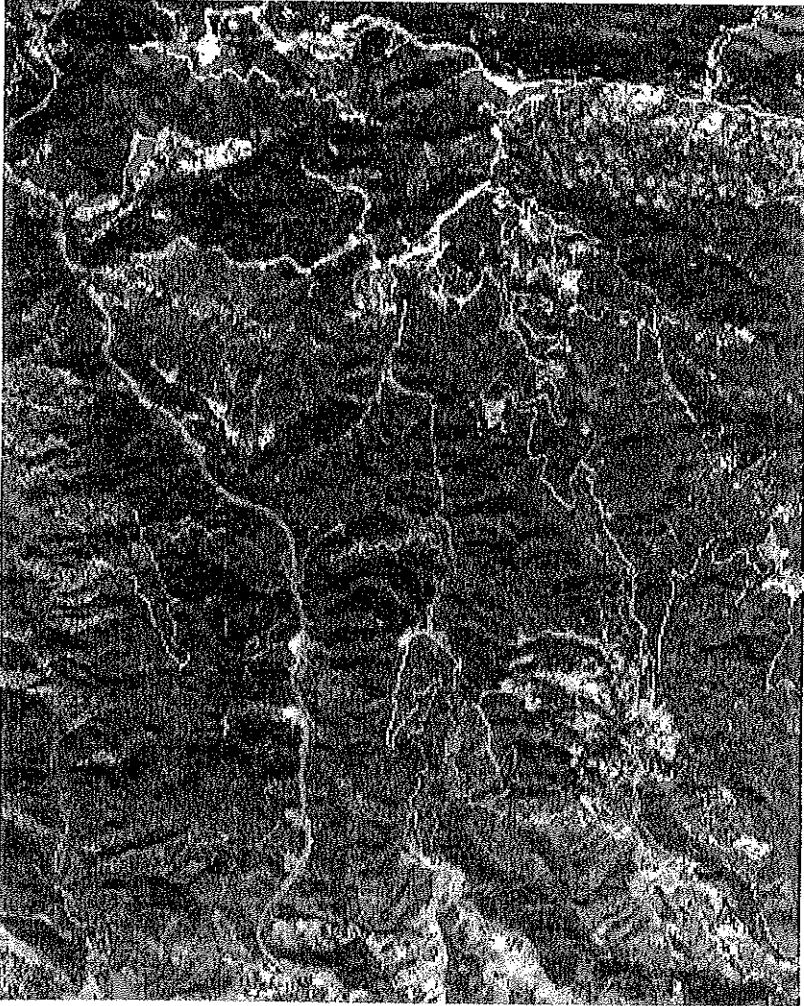


Figura 1. Composición en falso color de la imagen AVIRIS correspondiente al área de estudio en la zona de Point Dume.

(C7)





Figura 3. Descomposición de la imagen AVIRIS mediante el Análisis de Mezclas Espectrales. En esta imagen RGB el rojo corresponde a la vegetación muerta, el verde a la vegetación viva y el azul al suelo.

(c9)



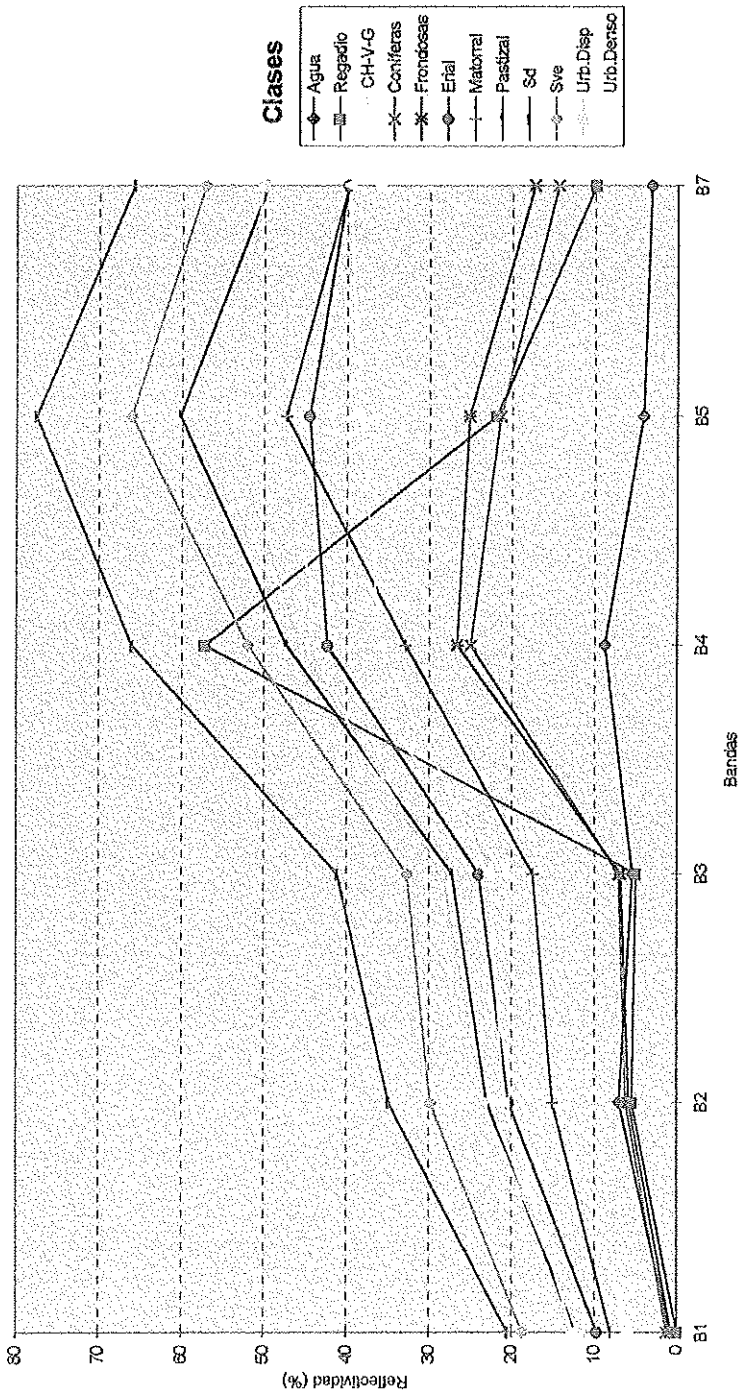


Figura 1





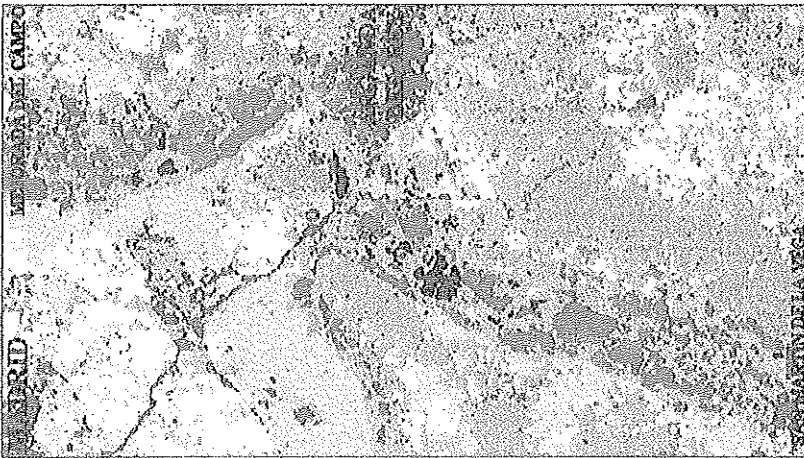


Figura 2 - Clasificación Supervisada de 1992

- Agua
- Regadío
- Cultivos Herbáceos y/o Yébenes y/o Girasoles
- Coníferas
- Frutales
- Erial
- Matorral
- Pastoral
- Suelo Descuberto
- Suelo con Vegetación Escasa
- Urbano Disperso
- Urbano Densos

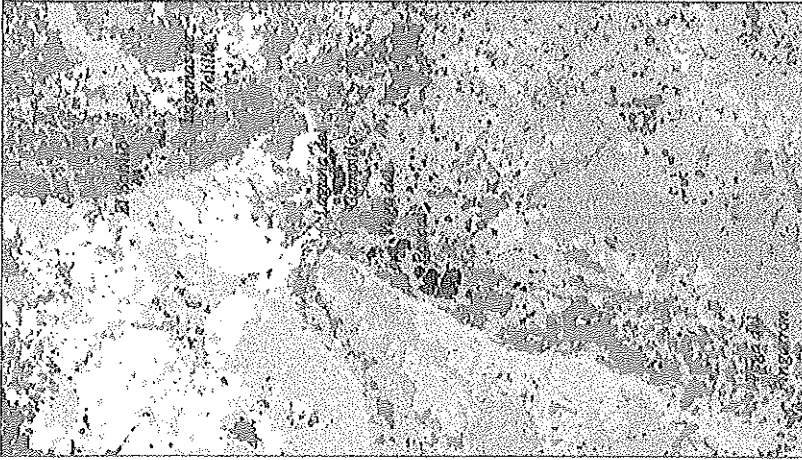


Figura 3 - Clasificación Supervisada de 1988





- Agua
- Regadío
- Cultivos Herbáceos y/o Viñedos y/o Girasoles
- Coníferas
- Frutales
- Erval
- Matorral
- Perifoneal
- Suelo Desnudo
- Suelo con Vegetación Escasa
- Urbano Disperso
- Urbano Densos

Figura 4 - Clasificación de 1992 mediante Red Neuronal

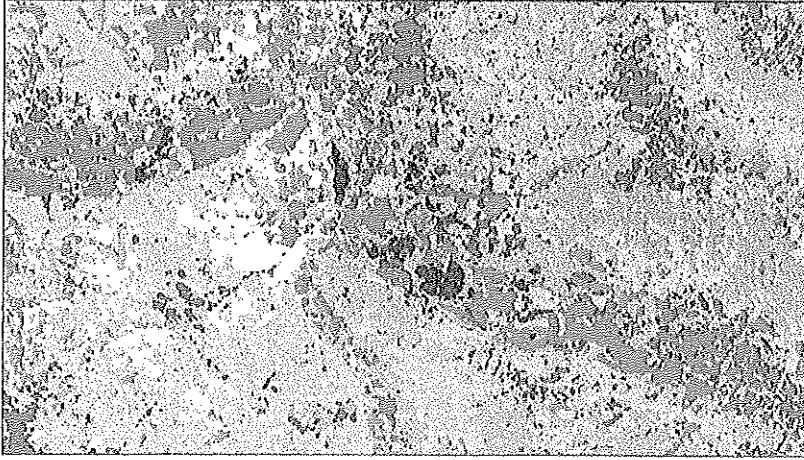


Figura 5 - Clasificación de 1988 mediante Red Neuronal



Gráfico 2 : Porcentaje de Error de Comisión del Método B.

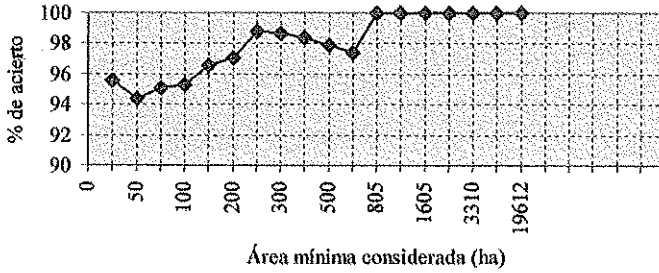


Gráfico 3 : Superficie total quemada por provincia (ha) del método A y B respecto a ICONA (1975-82)

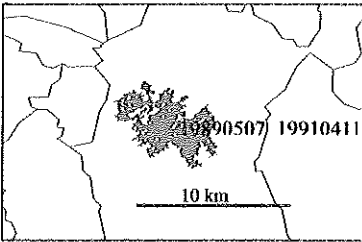
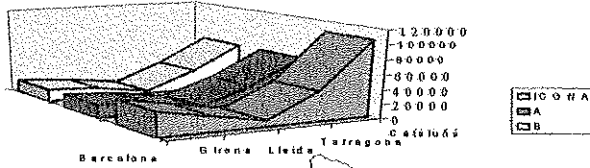


Figura 1 : Incendio del municipio de Tivissa detectado en el período comprendido entre el 7 de Mayo de 1989 y el 4 de Abril de 1991.  
Escala 1:500000  
X mín: 296580; X máx: 320160  
Y mín: 4535760; Y máx: 4551360

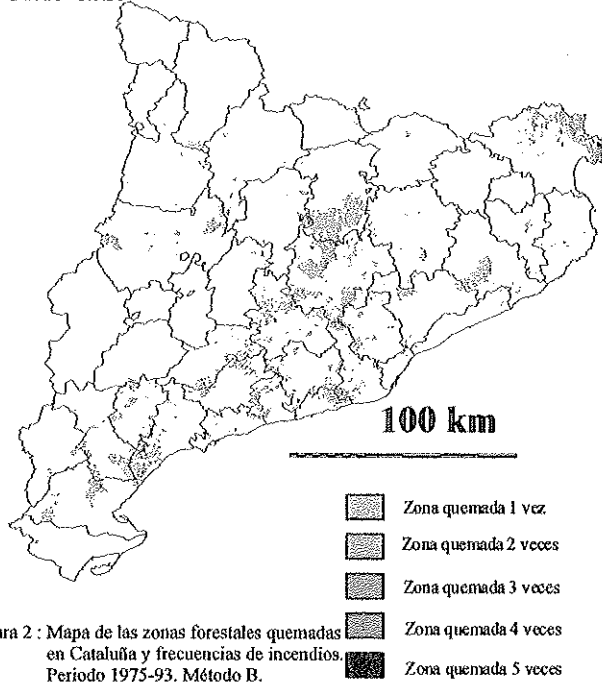


Figura 2 : Mapa de las zonas forestales quemadas en Cataluña y frecuencias de incendios. Período 1975-93. Método B.

